## КОЛЛЕКЦИЯ ЛИНИЙ ПЛЮРИПОТЕНТНЫХ СТВОЛОВЫХ КЛЕТОК

УДК 576.5+577.2

Паспорт линии плюрипотентных стволовых клеток

## ПОЛУЧЕНИЕ ЛИНИИ ИНДУЦИРОВАННЫХ ПЛЮРИПОТЕНТНЫХ СТВОЛОВЫХ КЛЕТОК iTAF15Xsk4 ИЗ ФИБРОБЛАСТОВ ПАЦИЕНТКИ С МИКРОДЕЛЕЦИЕЙ В Xq24

© 2023 г. И. Е. Пристяжнюк $^a$ , Н. И. Мещеряков $^{a, b}$ , Т. В. Никитина $^c$ , А. А. Кашеварова $^c$ , Д. А. Федотов $^c$ , Е. Н. Толмачева $^c$ , Л. И. Минайчева $^c$ , Л. П. Назаренко $^c$ , И. Н. Лебедев $^c$ , А. Г. Мензоров $^{a, b, *}$ 

<sup>а</sup>Институт цитологии и генетики СО РАН, пр-т акад. Лаврентьева, 10, Новосибирск, 630090 Россия <sup>b</sup>Новосибирский государственный университет, ул. Пирогова, 1, Новосибирск, 630090 Россия

<sup>c</sup>Научно-исследовательский институт медицинской генетики, Томский национальный исследовательский медицинский центр Российской академии наук, Набережная р. Ушайки, 10, Томск, 634050 Россия

\*e-mail: menzorov@bionet.nsc.ru

Поступила в редакцию 08.07.2023 г. После доработки 09.10.2023 г. Принята к публикации 10.10.2023 г.

Дифференцировка индуцированных плюрипотентных стволовых клеток (ИПСК), полученных от пациентов и условно здоровых доноров, позволяет изучать генетические аномалии *in vitro*. Ранее мы описали клинический случай привычного невынашивания беременности у пациентки с асимметричной инактивацией X-хромосомы в периферических лимфоцитах, буккальном эпителии и эндометрии. С помощью аСGH мы выявили микроделецию в Xq24 размером 239 т.п.н., затрагивающую восемь генов, включая *UBE2A*. Мы получили линию ИПСК iTAF15Xsk4 из фибробластов кожи пациентки с помощью не интегрирующихся эписомных векторов. Линия ИПСК имела нормальный кариотип, экспрессировала маркеры плюрипотентности и при дифференцировке в эмбриоидные тельца экспрессировала маркеры всех трех зародышевых листков. Полученную линию можно использовать для изучения синдрома дефицита гена *UBE2A*.

*Ключевые слова:* ИПСК, микроделеция Xq24, синдром дефицита *UBE2A*, привычное невынашивание беременности, асиммметричная инактивация X-хромосомы

DOI: 10.31857/S0475145023060071, EDN: AGBGZM

## **ВВЕДЕНИЕ**

Ранее нами была описана пациентка с привычным невынашиванием беременности и экстремально асимметричной инактивацией X-хромосомы в периферических лимфоцитах, буккальном эпителии и эндометрии (Tolmacheva et al., 2020). С помощью aCGH мы выявили микроделецию в Xq24 размером 239 т.п.н., затрагивающую восемь генов, включая *UBE2A*.

Генные мутации и делеции гена *UBE2A* могут вызывать редкое генетическое заболевание — синдром Насименто у мужчин, влияющий как на умственное развитие, так и на фенотипические признаки (Nascimento et al., 2006, Thunstrom et al., 2015). Женщины-носительницы делеций, включающих ген *UBE2A*, обычно здоровы, но имеют экстремально смещенную инактивацию X-хро-

мосомы. У пациентов-носителей делеции, помимо серьезной степени умственной отсталости, наблюдаются пороки сердца и мочеполовой системы (Thunstrom et al., 2015). Влияние делеции Xq24 на эмбриолетальность было описано нами впервые (Tolmacheva et al., 2020).

Клетки с делециями, включающими ген *UBE2A*, могут быть использованы как для изучения его эффектов при синдроме Насименто, так и, потенциально, механизма инактивации X-хромосомы. В настоящей работе описано получение и характеристика линии ИПСК iTAF15Xsk4, полученной с помощью репрограммирования фибробластов кожи пациентки с микроделецией в Xq24, затрагивающей восемь генов: *SLC25A43*, *SLC25A5-AS1*, *SLC25A5*, *STEEP1*, *UBE2A*, *NKRF*, *SEPTIN6* и *MIR766*.

#### МАТЕРИАЛЫ И МЕТОДЫ

### Получение ИПСК и условия культивирования

Фибробласты были получены от пациентки с микроделецией в Xq24, затрагивающей ген UBE2A (Tolmacheva et al., 2020). Фибробласты TAF15 выделяли и культивировали как описано ранее (Nikitina et al., 2018a, 2018b). Для репрограммирования фибробластов использовали электропорацию набором эписомных векторов (по 500 нг каждого), кодирующих ОСТ4, KLF4, L-MYC, SOX2, LIN28, mp53DD и EGFP (Okita et al., 2013) с помощью Neon Transfection System с параметрами 1650 В, 10 мс, три импульса (Thermo Fisher Scientific). В течение недели клетки культивировали в среде для фибробластов, затем пересаживали на инактивированные митомицином С эмбриональные фибробласты мышей линии CD-1 (фидер) в среду на основе нокаутного заменителя сыворотки и FGF2 человека (Chechetkina et al., 2022). Колонии ИПСК пересаживали механически с добавлением в день пересадки ингибитора Rho-accoциированной протеин киназы Y-27632 (Abcam). Культивирование клеток проводили при 37°C в атмосфере 5% CO<sub>2</sub>.

#### Выделение ДНК и РНК

Геномную ДНК из клеток выделяли с помощью фенол-хлороформной экстракции. Выделение РНК проводили набором Aurum Total RNA mini kit #732-6820 (Bio-Rad) по протоколу производителя.

#### ПЦР, ОТ-ПЦР и ПЦР-РВ

Детекцию контаминации микоплазмой (Сhoppa et al., 1998) и присутствия эписом (https://assets.thermofisher.com/TFS-Assets/LSG/manuals/epi5\_episomal ipsc reprogramming man.pdf) в клетках проводили с помощью ПЦР. ПЦР проводили на приборе T100 Thermal Cycler (Bio-Rad) с набором BioMaster HS-Taq (2×) (Biolabmix). Для подтверждения плюрипотентности ОТ-ПЦР использовали (Huangfu et al., 2008). Для синтеза кДНК из 0.5 мкг РНК использовали ревертазу M-MuLV (Biolabmix). Для подтверждения делеции использовали ПЦР-РВ на гены *UBE2A* и *SEPTIN6*, локализованные в области делеции, а также на контрольный ген НЕХВ (Tolmacheva et al., 2020). Последовательности праймеров ДЛЯ выявления микоплазмы, эписом, подтверждения делеции, анализа экспрессии генов-маркеров плюрипотентности и дифференцировки в производные трех зародышевых листков приведены в табл. 1.

#### Кариотипирование

Кариотип клеток анализировали на пассаже 10, используя DAPI-бэндинг (Prokhorovich et al., 2007).

#### Спонтанная дифференцировка in vitro

Спонтанную дифференцировку ИПСК проводили с помощью спонтанной дифференцировки в эмбриоидные тельца (Bock et al., 2011).

## Иммунофлуоресцентное окрашивание

Протокол иммунофлуоресцентного окрашивания был описан ранее (Shnaider et al., 2019). Список антител приведен в табл. 1. Ядра окрашивали с помощью Hoechst 33258. Препараты анализировали на микроскопе LSM 780 NLO (Zeiss) с использованием программного обеспечения ZEN (Zeiss).

#### STR-анализ

Генотипирование образцов ДНК проводили в OOO "Гордиз" (https://gordiz.ru/) (Россия).

#### **РЕЗУЛЬТАТЫ**

Получение и характеристика клеточной линии

Линия ИПСК iTAF15Xsk4 получена репрограммированием фибробластов пациентки с привычным невынашиванием беременности с делецией в Xq24 размером 239 т.п.н., включающей ген *UBE2A*. Паспорт клеточной линии приведен в табл. 2. Для репрограммирования использовали эписомные векторы, которые элиминируются при культивировании клеток (Okita et al., 2013). Линия ИПСК iTAF15Xsk4 имела морфологию эмбриональных стволовых клеток человека (рис. 1а) и нормальный кариотип 46,ХХ (рис. 1б). ПЦРанализ не выявил присутствия ДНК микоплазмы (рис. 1д). На пассаже 10 клетки экспрессировали транскрипционные факторы OCT4 и NANOG (рис. 1в, 1г, 1ж). При дифференцировке в эмбриоидные тельца клетки экспрессировали маркеры всех трех зародышевых листков (рис. 13). STR-анализ показал идентичность iTAF15Xsk4 и исходных фибробластов TAF15 (данные доступны по запросу). Делеция в Xq24 в ИПСК была подтверждена с помощью ПЦР-РВ (рис. 1и, 1к). Полная характеристика линии приведена в табл. 3.

## ОБСУЖДЕНИЕ

ИПСК линии iTAF15Xsk4 имеют морфологию эмбриональных стволовых клеток человека и плюрипотентны. Мы использовали неинтегриру-

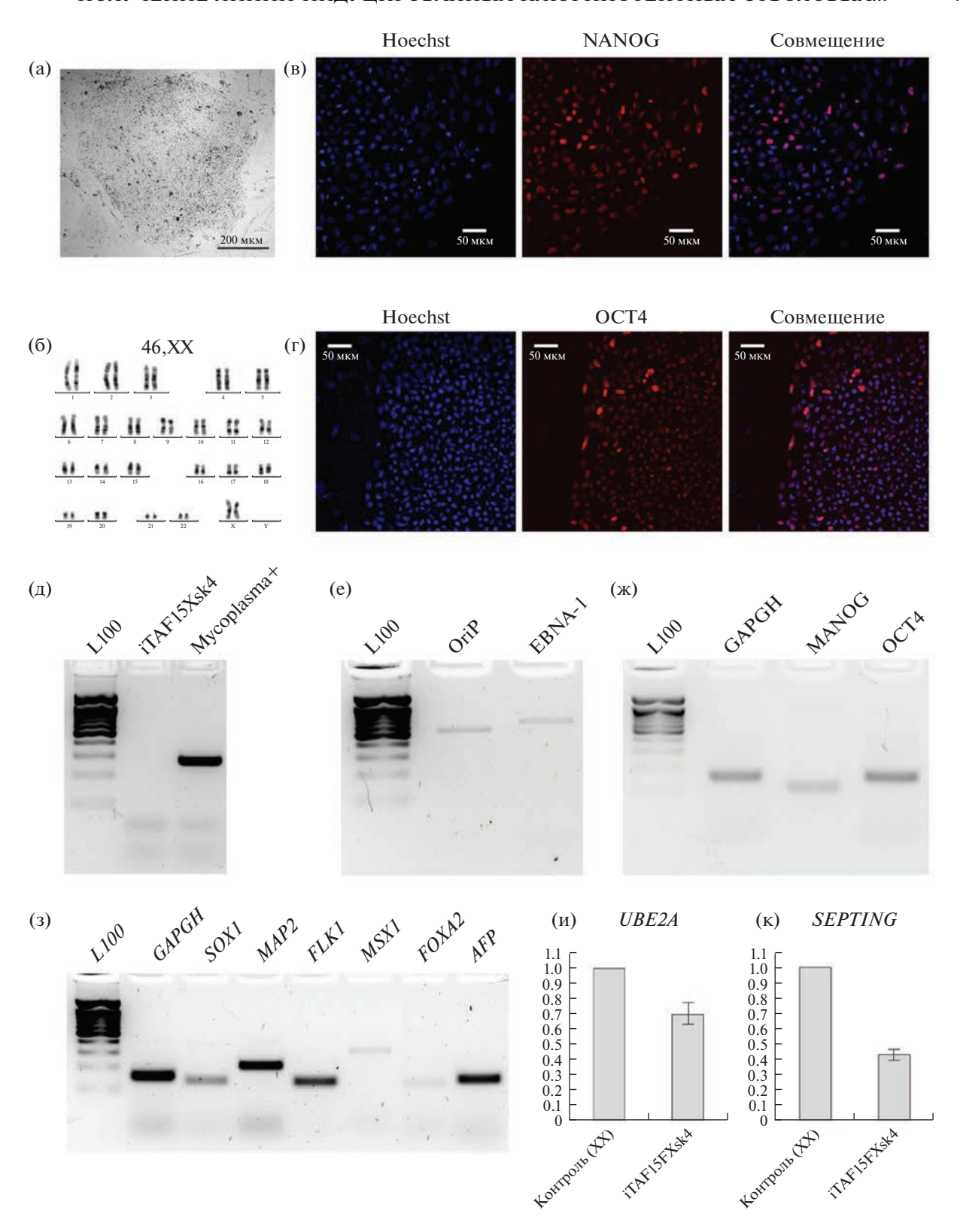
Таблица 1. Антитела и праймеры

	Антитела				
	Антитело	Разведение	Производитель, кат. №	RRID	
Маркеры	Rabbit anti-OCT4	1:500	Cell Signalling, 2750	RRID: AB_823583	
плюрипотентности	Rabbit anti-NANOG	1:500	Cell Signaling, 4903	RRID: AB_10559205	
Вторичные антитела	Goat anti-Rabbit IgG (H + L) Alexa Fluor 546	1:200	Thermo Fisher Scientific, A-11010	RRID: AB_2534077	
	Праймеры				
	Ген/локус	Размер продукта	Прямой/обратный праймер (5'—3')		
Детекция эписомных векторов	oriP	544 п.н.	TTCCACGAGGGTAGTGAA TCGGGGGTGTTAGAGACA	•	
Детекция эписомных векторов	EBNA-1	666 п.н.	ATCGTCAAAGCTGCACACAG/ CCCAGGAGTCCCAGTAGTCA		
Детекция микоплазмы	Myco 1	280 п.н.	GGGAGCAAACAGGATTAGATACCCT/ TGCACCATCTGTCACTCTGTTAACCTC		
Детекция микоплазмы	Myco2	206 п.н.	GGACTATTGTCTAAACAATTTCCC/ GGTTATTCGATTTCTAAATCGCCT		
Детекция микоплазмы	Myco3	170 п.н.	ATACATGCATGTCGAGCGAG/ CATCTTTTAGTGGCGCCTTAC		
Детекция микоплазмы	Myco4	407 п.н.	CATGCAAGTCGGACGAAGCA/ AGCATTTCCTCTTCTTACAA		
Подтверждение делеции, контрольный ген (ПЦР-РВ)	HEXB	136 п.н.	CCGGGCACAATAGTTGAAGT/ TCCTCCAATCTTGTCCATAGC		
Подтверждение делеции (ПЦР-РВ)	UBE2A	92 п.н.	CAAAGCTGGCGTGATTGT GGAGTAGGGAGGTGACA		
Подтверждение делеции (ПЦР-РВ)	SEPTIN6	112 п.н.	GACACCCTGTTCAACACCAAA/ GCTTTAGCCTCACGTTGCTC		
Ген домашнего хозяйства	GAPDH	153 п.н.	GTGGACCTGACCTGCCGTCT/ GGAGGAGTGGGTGTCGCTGT		
Маркер плюрипотентности	NANOG	110 п.н.	AAAGAATCTTCACCTATGC GAAGGAAGAGGAGAGACA		
Маркер плюрипотентности	OCT4	128 п.н.	CTGGGTTGATCCTCGGACCT/ CACAGAACTCATACGGCGGG		
Маркер эктодермы	SOX1	133 п.н.	CACAACTCGGAGATCAGCAA / GGTACTTGTAATCCGGGTGC		
Маркер эктодермы	MAP2	212 п.н.	CAGGTGGCGGACGTGTGAAAATTGAGAGTG/ CACGCTGGATCTGCCTGGGGACTGTG		
Маркер мезодермы	FLK1	131 п.н.	TGATCGGAAATGACACTGGA/ CACGACTCCATGTTGGTCAC		
Маркер мезодермы	MSX1	307 п.н.	CGAGAGGACCCCGTGGATGCAGAG/ GGCGGCCATCTTCAGCTTCTCCAG		
Маркер энтодермы	FOXA2	122 п.н.	GGAGCGGTGAAGATGGAA/ TACGTGTTCATGCCGTTCAT		
Маркер энтодермы	AFP	136 п.н.	AAATGCGTTTCTCGTTGC GCCACAGGCCAATAGTTT	•	

Таблица 2. Паспорт линии ИПСК iTAF15Xsk4 Уникальный илентификатор iTAF15Xsk4 Альтернативное название линии iTAF15Xsk4 Федеральное государственное бюджетное научное учрежде-Учреждение ние Федеральный исследовательский центр "Институт цитологии и генетики Сибирского отделения Российской академии наук", Новосибирск, Россия; Научно-исследовательский институт медицинской генетики Томского национального исследовательского медицинского центра РАН, Томск, Россия Одобрение этического комитета Исследование одобрено этической комиссией Научноисследовательского института медицинской генетики Томского национального исследовательского медицинского центра РАН (протокол № 10 от 15.02.2021) Тип клеток ИПСК Вид организма Человек Возраст: 29 Дополнительная информация Пол: F о происхождении клеточной линии Этническая принадлежность: европеоидная раса Исходный тип клеток Фибробласты кожи Ноябрь 2019 г. Дата забора биоматериала Неинтегрирующиеся эписомные векторы Способ репрограммирования Репрограммирующие факторы OCT4, KLF4, L-MYC, SOX2, LIN28 и p53 shRNA Клональные Клональность Нет Генетическая модификация Нет Вид генетической модификации ПЦР, детектируются Подтверждение элиминации/замолкания репрограммирующих генетических конструкций Заболевание Привычное невынашивание беременности Ген/локус arr[hg19] Xq24(118555586 118794279)×1mat по данным хромосомного микроматричного анализа лимфоцитов периферической крови пациентки с использованием ДНК-микроматриц SurePrint G3 Human CGH+SNP 4×180K Microarray Kit (Agilent Technologies, Santa Clara, CA, USA) (микроделеция в Xq24, затрагивает восемь генов: SLC25A43, SLC25A5-AS1, SLC25A5, STEEP1, UBE2A, NKRF, SEPTIN6 и MIR766) Морфология Эмбриональные стволовые клетки человека (праймированные) Плюрипотентность Подтверждена в тесте на формирование эмбриоидных телец Кариотип 46,XX Проверка контаминации Бактерии, грибы и микоплазма не обнаружены Область применения Изучение синдрома дефицита гена *UBE2A* Способ культивирования Монослойный на пластике, покрытом фидером Среда культивирования DMEM/F12, 20% KSR, NEAA, GlutaMAX, PenStrep, 2-mercaptoethanol, bFGF 37 Температура, °С 5 Концентрация СО2, % 20 Концентрация  $O_2$ , % Способ пересева Механический Кратность пересева 1:2-1:6Криоконсервация 90% KSR, 10% DMSO Условия хранения Жидкий азот Учетная запись в реестре http://www.biores.cytogen.ru/brc cells/collections/ICG SB RAS CELL/entities/221

26/08/2022

Дата паспортизации/депонирования



**Рис. 1.** Характеристика линии ИПСК iTAF15Xsk4. (а) Морфология колонии; (б) метафазная пластинка на пассаже 10; (в) иммуноцитохимическое окрашивание на NANOG; (г) иммуноцитохимическое окрашивание на ОСТ4; (д) ПЦР анализ на контаминацию микоплазмой; (е) ПЦР анализ присутствия эписом; (ж) ОТ-ПЦР анализ на маркеры плюрипотентности; (з) ОТ-ПЦР анализ на маркеры дифференцировки в экто- (*SOX1* и *MAP2*), мезо- (*FLK1* и *MSX1*) и энтодерму (*FOXA2* и *AFP*); (и) подтверждение делеции *UBE2A* (ПЦР-РВ), указано среднее +/— стандартное отклонение; (к) подтверждение делеции *SEPTIN6* (ПЦР-РВ), указано среднее +/— стандартное отклонение. L100 — ДНК-маркер 100 bp + 1.5 kb (SibEnzyme).

Таблица 3. Характеристика линии ИПСК человека iTAF15Xsk4

Параметр	Метод	Результат	Данные
Морфология	Микрофотография в фазовом контрасте	Типичная морфология праймированных плюрипотентных стволовых клеток человека	Рис. 1а
Фенотип	Качественный анализ Иммунофлуоресцентное окрашивание	Выявляются маркеры плюрипотентности NANOG и ОСТ4	Рис. 1в, 1г
Генотип	Кариотипирование	46,XX	Рис. 1б
Идентификация	STR-анализ	19 из 19 полиморфных локусов совпадают с фибробластами	Доступны по запросу у авторов
Контаминация	Микоплазма	Отсутствует	-
Потенциал дифференцировки	Формирование эмбриоидных телец, ОТ-ПЦР	Выявлены маркеры трех зародышевых листков: SOX1 и MAP2 (эктодерма), FLK1 и MSX1 (мезодерма), FOXA2 и AFP (энтодерма)	Рис. 1ж
Инфекции донора	ВИЧ, гепатит В, гепатит С	Нет данных	Нет данных
Дополнительная информация о генотипе	Группа крови	Нет данных	Нет данных
информации о тепотине	HLA-типирование	Нет данных	Нет данных

ющиеся эписомные векторы для доставки репрограммирующих факторов. По литературным данным за одно деление клеток 2—8% эписом элиминируются (Drozd et al., 2015), на пассаже 10 мы показали присутствие эписом (рис. 1е). Использованный метод анализа, ПЦР тотальной ДНК, не позволят оценить копийность эписом и процент их содержащих клеток. Для правильной дифференцировки ИПСК экзогенные транскрипционные факторы не должны экспрессироваться, поэтому для полного элиминирования эписом необходимо культивировать ИПСК еще несколько недель.

Полученную линию ИСПК в дальнейшем можно будет использовать для изучения эффекта делеции гена *UBE2A*. Также, потенциально, ИПСК можно использовать для изучения инактивации X-хромосомы. Для этого будет необходимо перевести клетки на стадию наивной плюрипотентности, хотя в некоторых работах показана неслучайная инактивация X-хромосом при дифференцировке "наивных" ИПСК. Также, нужно будет проверить клетки на наличие эрозии инактивации

X-хромосом. Из-за того, что эрозия сохраняется в дифференцированных клетках, линии с эродированной инактивацией X-хромосомы непригодны для изучения механизмов X-инактивации (Zhou et al., 2023).

#### БЛАГОДАРНОСТИ

Получение и культивирование ИПСК проводили на базе ЦКП "Коллекция плюрипотентных культур клеток человека и млекопитающих общебиологического и биомедицинского направления" ИЦиГ СО PAH (https://ckp.icgen.ru/cells/; http://www.biores.cytogen.ru/brc cells/collections/ICG SB RAS CELL). Визуализацию результатов иммунофлуоресцентного окрашивания проводили в ЦКП микроскопического анализа биологических объектов ИЦиГ СО РАН (https://ckp.icgen.ru/ckpmabo/), поддержанного бюджетным проектом ИЦиГ СО РАН FWNR-2022-0019. Получение биоптата кожи и культивирование первичных фибробластов проводилось на базе Центра коллективного пользования "Медицинская геномика" Томского НИМЦ.

#### ФИНАНСИРОВАНИЕ РАБОТЫ

Работа выполнена при финансовой поддержке Министерства науки и высшего образования Российской Федерации (Соглашение № 075-15-2021-1063 от 28.09.2021). Получение первичных фибробластов кожи проводилось при финансовой поддержке гранта РНФ № 21-65-00017.

#### СОБЛЮДЕНИЕ ЭТИЧЕСКИХ СТАНДАРТОВ

Исследование одобрено этической комиссией Научно-исследовательского института медицинской генетики Томского национального исследовательского медицинского центра РАН (Протокол № 10 от 15.02.2021). Пациенткой было собственноручно подписано добровольное информированное согласие.

#### КОНФЛИКТ ИНТЕРЕСОВ

Авторы заявляют об отсутствии конфликта интересов.

#### ВКЛАД АВТОРОВ

А.Г. Мензоров провел репрограммирование фибробластов и получил линию ИПСК. И.Е. Пристяжнюк провела цитогенетический анализ. Н.И. Мещеряков выполнил выделение ДНК и РНК, ПЦР и ОТ-ПЦР анализ. Т.В. Никитина культивировала первичные фибробласты. А.А. Кашеварова и Д.А. Федотов провели ПЦР-РВ. Медицинское сопровождение пациента и получение биоптата кожи проводили Е.Н. Толмачева, Л.И. Минайчева и Л.П. Назаренко. А.Г. Мензоров и И.Н. Лебедев разработали дизайн эксперимента, провели анализ полученных данных и участвовали в написании статьи. Все авторы участвовали в обсуждении результатов.

#### СПИСОК ЛИТЕРАТУРЫ

- Chechetkina S.A., Khabarova A.A., Chvileva A.S. et al. Generation of two iPSC lines from healthy donor with a heterozygous mutation in the VPS13B gene // Stem. Cell Res. 2021. V. 59. P. 102648. https://doi.org/10.1016/j.scr.2021.102648
- Choppa P.C., Vojdani A., Tagle C. et al. Multiplex PCR for the detection of Mycoplasma fermentans, M. hominis and M. penetrans in cell cultures and blood samples of patients with chronic fatigue syndrome // Mol. Cell Probes. 1998. V. 12. № 5. P. 301–308. https://doi.org/10.1006/mcpr.1998.0186
- Drozd A.M., Walczak M.P., Piaskowski S. et al. Generation of human iPSCs from cells of fibroblastic and epithelial origin by means of the oriP/EBNA-1 episomal reprogramming system // Stem. Cell Res. Ther. 2015. V. 6. № 1. P. 122.

https://doi.org/10.1186/s13287-015-0112-3

Huangfu D., Osafune K., Maehr R. et al. Induction of pluripotent stem cells from primary human fibroblasts with only Oct4 and Sox2 // Nat. Biotechnol. 2008. V. 26.

№ 11. P. 1269–1275. https://doi.org/10.1038/nbt.1502

Nascimento R.M.P., Otto P.A., de Brouwer A.P.M. et al. UBE2A, which encodes a ubiquitin-conjugating enzyme, is mutated in a novel X-linked mental retardation syndrome // Am. J. Hum. Genet. 2006. V. 79. № 3. P. 549–555.

https://doi.org/10.1086/507047

- Nikitina T.V., Menzorov A.G., Kashevarova A.A. et al. Generation of two iPSC lines (IMGTi001-A and IMGTi001-B) from human skin fibroblasts with ring chromosome 22 // Stem. Cell Res. 2018a. V. 31. P. 244—248. https://doi.org/10.1016/j.scr.2018.08.012
- Nikitina T.V., Menzorov A.G., Kashevarova A.A. et al. Induced pluripotent stem cell line, IMGTi003-A, derived from skin fibroblasts of an intellectually disabled patient with ring chromosome 13 // Stem. Cell Res. 2018b. V. 33. P. 260–264. https://doi.org/10.1016/j.scr.2018.11.009
- Okita K., Yamakawa T., Matsumura Y. et al. An efficient nonviral method to generate integration-free human-induced pluripotent stem cells from cord blood and peripheral blood cells // Stem Cells. 2013. V. 31. № 3. P. 458–466. https://doi.org/10.1002/stem.1293
- Prokhorovich M.A., Lagar'kova M.A., Shilov A.G. et al. Cultures of hESM human embryonic stem cells: chromosomal aberrations and karyotype stability // Bull. Exp. Biol. Med. 2007. V. 144. № 1. P. 126–129. https://doi.org/10.1007/s10517-007-0271-z
- Shnaider T.A., Pristyazhnyuk I.E., Menzorov A.G. et al. Generation of four iPSC lines from two siblings with a microdeletion at the CNTN6 gene and intellectual disability // Stem. Cell Res. 2019. V. 41. P. 101591. https://doi.org/10.1016/j.scr.2019.101591
- Thunstrom S., Sodermark L., Ivarsson L. et al. UBE2A deficiency syndrome: a report of two unrelated cases with large Xq24 deletions encompassing UBE2A gene // Am. J. Med. Genet. A. 2015. V. 167A. № 1. P. 204—210. https://doi.org/10.1002/ajmg.a.36800
- Tolmacheva E.N., Kashevarova A.A., Nazarenko L.P. et al. Delineation of clinical manifestations of the inherited Xq24 microdeletion segregating with sXCI in mothers: two novel cases with distinct phenotypes ranging from UBE2A deficiency syndrome to recurrent pregnancy loss // Cytogenet. Genome Res. 2020. V. 160. № 5. P. 245–254.

https://doi.org/10.1159/000508050

Zhou J., Hu J., Wang Y. et al. Induction and application of human naive pluripotency // Cell Rep. 2023. V. 42. № 4. P. 112379.

https://doi.org/10.1016/j.celrep.2023.112379

# Generation of Induced Pluripotent Stem Cell Line iTAF15Xsk4 from Fibroblasts of a Patient with Microdeletion at Xq24

I. E. Pristyazhnyuk<sup>1</sup>, N. I. Meshcheryakov<sup>1, 2</sup>, T. V. Nikitina<sup>3</sup>, A. A. Kashevarova<sup>3</sup>, D. A. Fedotov<sup>3</sup>, E. N. Tolmacheva<sup>3</sup>, L. I. Minaycheva<sup>3</sup>, L. P. Nazarenko<sup>3</sup>, I. N. Lebedev<sup>3</sup>, and A. G. Menzorov<sup>1, 2, \*</sup>

<sup>1</sup>Institute of Cytology and Genetics SB RAS, Novosibirsk, 630090 Russia

<sup>2</sup>Novosibirsk State University, Novosibirsk, 630090 Russia

<sup>3</sup>Research Institute of Medical Genetics, Tomsk National Research Medical Center RAS, Tomsk, 634050 Russia

\*e-mail: menzorov@bionet.nsc.ru

Differentiation of induced pluripotent stem (iPS) cells from patients and healthy donors allows in vitro study of genetic disorders. We have previously reported a clinical case of recurrent pregnancy loss in a patient with skewed X-chromosome inactivation in peripheral blood lymphocytes, endometrium, and buccal epithelium. We have found a 239 kb microdeletion at Xq24 that affected eight genes including *UBE2A*. In this work, we produced iPS cell line iTAF15Xsk4 from the patient's skin fibroblasts using non-integrating episomal vectors. iPS cell line had a normal karyotype, expressed pluripotency markers, and upon differentiation in embryoid bodies expressed markers of all three germ layers. This cell line could be used for the *UBE2A* deficiency syndrome study.

Keywords: iPS cells, Xq24 microdeletion, UBE2A deficiency syndrome, recurrent pregnancy loss, skewed X-chromosome inactivation